Teorie Efficaci Olografiche: Un caso di studio

Riccardo Antonelli

2 dicembre 2016

QFT fortemente accoppiate

Problema fondamentale:

Data teoria di campo quantistica fortemente accoppiata,
$\longrightarrow$ **teoria efficace di bassa energia**

Teoria delle stringhe: equivalenze teorie di gauge 4d $\leftrightarrow$ background di stringa 10d (olografia)

Sfruttabili per teoria efficace?

$\downarrow$

Teorie Efficaci Olografiche

Superstringhe IIB

Teoria di gravità quantistica in 10d.

- Stringhe: oggetti perturbativi 1-dimensionali
- Dp-brane: oggetti non perturbativi p-dimensionali; p dispari (D1,D3,D5,...)

A basse energie, le stringhe IIB $\sim$ **supergravità IIB** (SUGRA). Teoria di campo, include:

- gravitone $g_{\mu\nu}$, assio-dilatone τ (complesso)
- k-forme: B_2, C_2, C_4
- $+$ fermioni ...

Olografia

Equivalenza fra

- Teoria di gauge in 4 dimensioni
- Teoria delle stringhe IIB (include gravità) su $\mathrm{AdS}_5 \times Y^5$

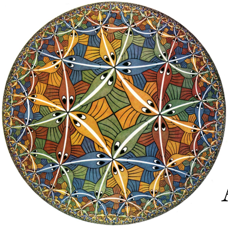

AdS_5

$\times$

Y_5

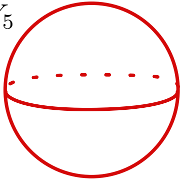

AdS (Anti-de Sitter): spaziotempo iperbolico

Y_5: varietà compatta 5d

Costruire dualità

Si dispongono N D3-brane coincidenti in un background

$$\mathbb{R}^{1,3} \times X_6$$

X_6: cono con base Y_5: $ds_X^2 = dr^2 + r^2 ds_Y^2$

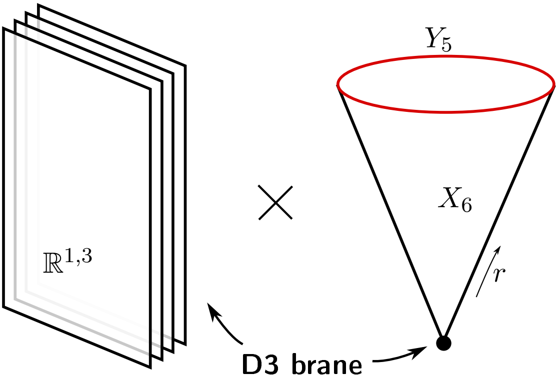

Costruire dualità (2)

Due visuali equivalenti di questo sistema:

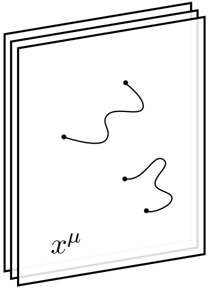

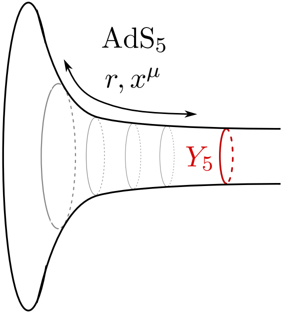

Stringhe aperte attaccate alle D3:
Teoria di **gauge** 4d
$G = SU(N) \times SU(N) \times \dots$

Massa D3 curva spaziotempo:

$$\mathbb{R}^{1,3} \times X_6 \longrightarrow \mathrm{AdS}_5 \times Y_5\,,$$

$\Longrightarrow$ dualità olografica

La teoria $Y^{2,0}$

Cono $X^{2,0}$ sulla base $Y^{2,0} \sim \mathbb{S}^2 \times \mathbb{S}^3/\mathbb{Z}_2$

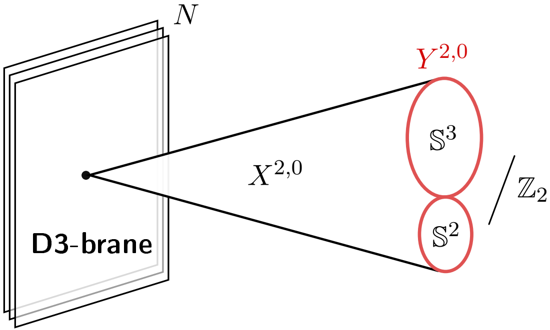

$X^{2,0}$ è Calabi-Yau $\Longrightarrow$ teoria superconforme (SCFT) con $\mathcal{N} = 1$

Supersimmetria **minimale** (senza la singolarità conica, $\mathcal{N} = 4$): teorie meno rigide e più realistiche, dinamica pochissimo studiata

La teoria $Y^{2,0}$

Gruppo di gauge:

$$SU(N)_1 \times SU(N)_2 \times SU(N)_3 \times SU(N)_4$$

Campi di materia: $A_1, A_2, B_1, B_2, C_1, C_2, D_1, D_2$.

$A_i \in (\mathbf{N}, \overline{\mathbf{N}}, \mathbf{1}, \mathbf{1})\,,\ B_i \in (\mathbf{1}, \mathbf{N}, \overline{\mathbf{N}}, \mathbf{1})\,, \ldots$

Teoria di quiver:

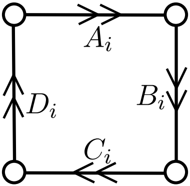

+ superpotenziale (interazione fra i campi di materia):

$$W = \lambda \varepsilon^{ij} \varepsilon^{kl}\, \mathrm{Tr}(A_i B_k C_j D_l)$$

Deve esistere una descrizione **efficace** a bassa energia, in termini di pochi campi dinamici. Come identificarla?

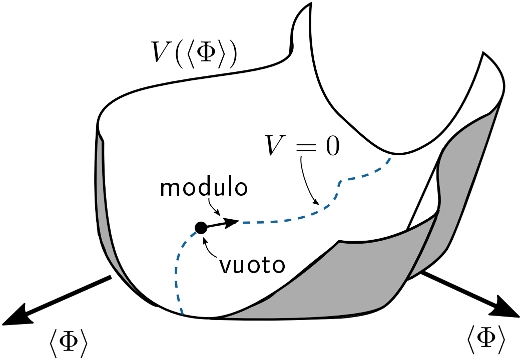

Varietà di vuoti (minimi del potenziale): spazio dei moduli $\mathcal{M}$. Le direzioni lungo $\mathcal{M}$ sono parametrizzate da **moduli**.

Moduli = campi della teoria efficace!

$\mathrm{AdS}_5 \times Y^{2,0}$

Duale olografico: stringhe IIB sulla geometria

$$\mathrm{AdS}_5 \times Y^{2,0}$$

Quando $N \to \infty$ e a strong coupling $\longrightarrow$ la string theory diventa la SUGRA IIB classica.

$$\begin{gathered}\text{Moduli della CFT } Y^{2,0} \\ \updownarrow \\ \text{Moduli di SUGRA su } \mathrm{AdS}_5 \times Y^{2,0} \\ \updownarrow \\ \text{campi dinamici della teoria efficace}\end{gathered}$$

$\Rightarrow$ è possibile estrarre la Lagrangiana efficace.

Moduli SUGRA

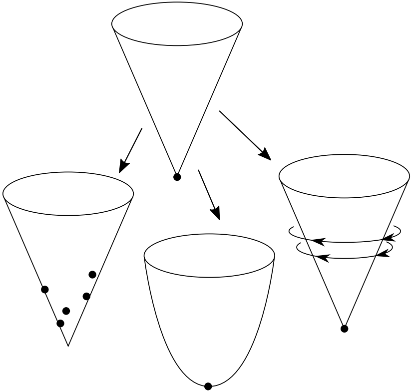

- Spostare le D3-brane sul cono
- Deformare la metrica (struttura Kähler) del cono
- Accendere altri campi di SUGRA (τ, B_2, C_2, C_4)

$3N$ moduli immediati:

$$z_I^i$$

$$i = 1, 2, 3,$$
$$I = 1, \ldots, N$$

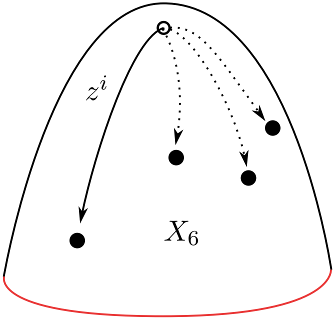

posizioni delle N D3-brane sul cono 6d $\rightarrow$ $3N$ campi complessi.

Legati a valori di aspettazione (VEV) di operatori del tipo:

$$\mathrm{Tr}\left(A_i B_j C_k D_l\right) \ , \ \leftarrow \textbf{mesoni}$$

- 2 moduli struttura Kähler (metrica): la singolarità conica si può "risolvere" in due sfere $\mathbb{S}^2_L \times \mathbb{S}^2_R$
- 1 modulo per 2-forme B_2, C_2

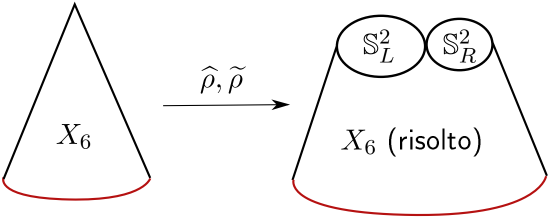

$$\begin{aligned} \widehat{\rho} &\sim \mathrm{vol}\,\mathbb{S}^2_L + \mathrm{vol}\,\mathbb{S}^2_R \\ \widetilde{\rho} &\sim \mathrm{vol}\,\mathbb{S}^2_L - \mathrm{vol}\,\mathbb{S}^2_R \end{aligned}$$

$$\beta \sim \int_{\mathbb{S}^2_L + \mathbb{S}^2_R} B_2 - \tau C_2$$

$\Longrightarrow$ 3 altri campi chirali $\widehat{\rho}$, $\widetilde{\rho}$, β nella teoria efficace. VEV di

$$\varepsilon_{abc\ldots}\varepsilon^{pqr\ldots} \underbrace{A^a{}_p A^b{}_q A^c{}_r \ldots}_{N} \leftarrow \textbf{barioni}$$

Teoria efficace

Ci sono $3N+3$ campi chirali $(z_I^i, \widehat{\rho}, \widetilde{\rho}, \beta)$. Calcoliamo la $\mathcal{L}_{\text{eff}}$ efficace:

$$\mathcal{L}_{\text{eff}} = -\pi \mathcal{G}^{ab} \nabla_\mu \rho_a \nabla^\mu \bar{\rho}_b - 2\pi \sum_I g_{i\bar{\jmath}}\, \partial_\mu z^i \partial^\mu \bar{z}^{\bar{\jmath}} - \frac{\pi \mathcal{M}}{\operatorname{Im} \tau} \partial_\mu \beta\, \partial^\mu \bar{\beta}$$

- $\mathcal{G}^{ab}, \nabla_\mu, g_{i\bar{\jmath}}, \mathcal{M}$ sono funzioni complicate di $(\widehat{\rho}, \widetilde{\rho}, \beta) \Longrightarrow$ forte non-linearità
- $g_{i\bar{\jmath}}$: metrica (hermitiana) del cono risolto: σ-model delle D3-brane
- $\mathcal{L}_{\text{eff}}$ è in realtà la parte bosonica di una Lagrangiana supersimmetrica $\mathcal{N}=1$: gli scalari $\widehat{\rho}, \widetilde{\rho}, \beta$ sono accoppiati con superpartner spin-$1/2$.
- Abbiamo dunque determinato la teoria efficace olografica esatta (per $N=\infty$!)

Simmetrie

Check nontriviale: simmetrie della teoria di campo devono ricomparire nella teoria efficace.

- Gruppo superconforme: spontaneamente rotto in generale, verifichiamo l'invarianza di $\mathcal{L}_{\text{eff}}$ sotto un'implementazione nonlineare.
- La SCFT ha una simmetria di flavour $SU(2) \times SU(2)$. Nella HEFT: è il gruppo di isometria di $\mathbb{S}^2 \times \mathbb{S}^2$.
- A basse energie il gruppo di gauge si riduce $U(N)^4 \to SU(N)^4$: cosa succede agli $U(1)$?

$U(1)$

- $U(1)_{\text{trace}} = U(1)_1 + U(1)_2 + U(1)_3 + U(1)_4$ è disaccoppiato da tutto.
- $U(1)_B = U(1)_1 + U(1)_3$ non anomalo. **Numero barionico**. Nella HEFT:
$$\mathrm{Im}\,\widetilde{\rho} \to \mathrm{Im}\,\widetilde{\rho} + \alpha$$
- Ne rimangono due. Sono:
$$\begin{array}{ccc} U(1)_1 - U(1)_3 & \leftrightarrow & \mathrm{Im}\,\widehat{\rho} \to \mathrm{Im}\,\widehat{\rho} + \alpha \\ U(1)_4 - U(1)_2 & \leftrightarrow & \mathrm{Im}\,\beta \to \mathrm{Im}\,\beta + \alpha \end{array}$$
Simmetrie classiche della CFT e della $\mathcal{L}_{\text{eff}}$, ma **anomale**. Interpretazione olografica: rotte da effetti nonperturbativi $\sim \exp(-N) \sim \exp(-1/g_s)$ dovuti a istantoni di teoria delle stringhe accoppiati ad $\mathrm{Im}\,\widehat{\rho}$, $\mathrm{Im}\,\beta$.

Grazie per l'attenzione.